

Champ magnétique et propriétés de la matière

1^{ère} partie :
Faisceau électronique

1.1 Nature de la trajectoire et application

1.1.1 dans le référentiel R_{gal} : $m_e \vec{a} = -e\vec{v} \times B\vec{z}$

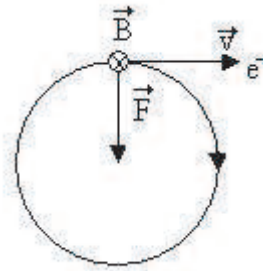
1.1.2 sur Oz :

$$m_e \ddot{z}(t) = 0 \implies \dot{z}(t) = v_{0z} = 0 \implies z(t) = z_0$$

la trajectoire est donc le plan $z = z_0 \perp \vec{B}$

$$\text{on a : } m_e \frac{d\vec{v}}{dt} = -e\vec{v} \times \vec{B} \implies \frac{1}{2} m_e \frac{dv^2}{dt} = -e\vec{v} \cdot (\vec{v} \times \vec{B}) = 0 \implies \|\vec{v}\| = cte = v_0$$

1.1.3 la trajectoire est un cercle ,en se basant sur le sens de la force $-e\vec{v}_0 \times \vec{B}$ on dessine :



1.1.4 TRD dans la base de Freinet : $m_e \frac{v^2}{R} = evB$ et $\frac{dv}{dt} = 0$ donc

$$R = \frac{m_e v_0}{eB}$$

1.1.5 $T = \frac{2\pi R}{v_0} = \frac{2\pi m_e v_0}{eB v_0} = \frac{2\pi}{|\omega_0|}$ A.N : $T = 7 \cdot 10^{-9} s$

1.1.6 TEC pendant la phase d'accélération :

$$e\Delta V = \frac{1}{2} m_e (v_f^2 - v_i^2) \implies e\Delta V = \frac{1}{2} m_e v_0^2 = \frac{1}{2} m_e \left(\frac{eBR}{m_e} \right)^2$$

soit $\frac{e}{m_e} = \frac{2\Delta V}{B^2 R^2} = \frac{8\Delta V}{B^2 D^2}$ A.N : $\frac{e}{m_e} = 1.8 \cdot 10^{11} C.kg^{-1}$ d'après les données :

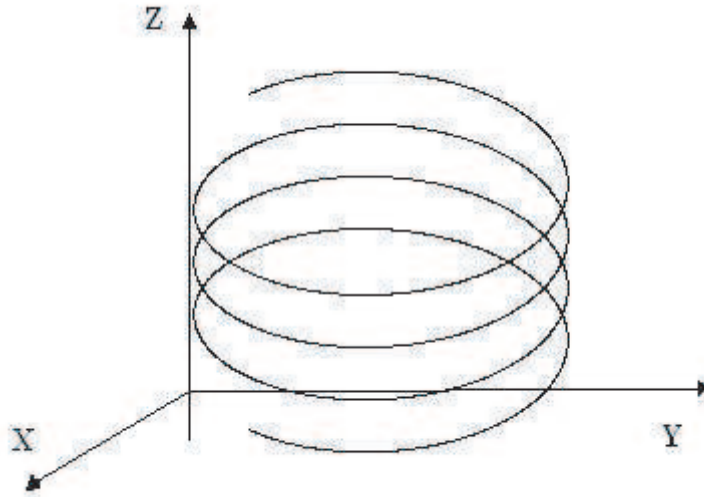
$$\frac{e}{m_e} = 1.76 \cdot 10^{11} C.kg^{-1}$$

l'erreur provient de l'approximation $v_i \approx 0$ et des mesures de D et B

1.1.7 expérience de Millikan!!

1.1.8 A.N : $P = m_e g = 9.1 \cdot 10^{-30} N$ et $F_m = ev_0 B = e \sqrt{\frac{2e\Delta V}{m_e}} B = 4 \cdot 10^{-14} N \implies P \ll F_m$

1.1.9 on superpose le mouvement circulaire dans le plan $z = cte$ et un mouvement uniforme suivant Oz ,on obtient une trajectoire hélicoïdale



1.2 Stabilité de la trajectoire électronique

$$1.2.1 \quad m_e \vec{a} = q\vec{v} \times B\vec{z} \text{ et } \vec{v} = \dot{r}\vec{e}_r + r\dot{\theta}\vec{e}_\theta \implies \begin{cases} m_e(\ddot{r} - r\dot{\theta}^2) = \omega_c r\dot{\theta} & (1) \\ r\ddot{\theta} + 2\dot{r}\dot{\theta} = -\omega_c \dot{r} & (2) \\ \ddot{z} = 0 & (3) \end{cases}$$

1.2.2

$$(2) \implies (R + \epsilon_r)\ddot{\theta} + 2\dot{\epsilon}_r(-\omega_c + \dot{\epsilon}_\theta) = -\omega_c \dot{\epsilon}_r$$

au 1^{er} ordre il reste $\implies R\ddot{\theta} = \omega_c \dot{\epsilon}_r \implies R\dot{\epsilon}_\theta = \omega_c \epsilon_r + cte$

à $t = 0$ on a $\epsilon_r(0) = \dot{\epsilon}_\theta(0) = 0 \implies \boxed{R \dot{\epsilon}_\theta = \omega_c \epsilon_r}$

1.2.3

$$(1) \implies \ddot{\epsilon}_r - (R + \epsilon_r)(-\omega_c + \dot{\epsilon}_\theta)^2 = \omega_c(R + \epsilon_r)(-\omega_c + \dot{\epsilon}_\theta) \\ \implies \ddot{\epsilon}_r - (R + \epsilon_r)(\omega_c^2 + \dot{\epsilon}_\theta^2 - 2\omega_c \dot{\epsilon}_\theta) = \omega_c(R + \epsilon_r)(-\omega_c + \dot{\epsilon}_\theta)$$

tenant compte du résultat de 1.2.2, au 1^{er} ordre

$$\implies \boxed{\ddot{\epsilon}_r + \omega_c^2 \epsilon_r = 0}$$

$$1.2.4 \quad \epsilon_r(t) = a \cos \omega_c t + b \sin \omega_c t$$

à $t = 0$ on a : $\epsilon_r(0) = 0 \implies \begin{cases} \epsilon_r(t) = b \sin \omega_c t \\ \epsilon_\theta(t) = \frac{\omega_c}{R} b \sin \omega_c t \end{cases}$ les mouvements sont stables car $\epsilon_r(t)$ et $\epsilon_\theta(t)$ sont bornées

1.2.5 sur Oz

$$m_e \ddot{z} = 0 \implies \ddot{\epsilon}_z(t) = 0 \implies \epsilon_z(t) = a t$$

le mouvement est instable

2^{ème} partie : Effet ZEEMAN

2.1 Théorème de Larmor

$$2.1.1 \quad \text{TRD dans } R_{gal} : \vec{a}_0 = \frac{q\vec{E}}{m_e}$$

$$2.1.2 \quad \text{TRD dans } R_{gal} : \vec{a} = \frac{q}{m_e} \vec{E} + \frac{q}{m_e} \vec{v} \times \vec{B}$$

2.1.3

$$2.1.3.1 \quad \vec{a}' = \frac{q}{m_e} \vec{E} + \frac{q}{m_e} \vec{v} \times \vec{B} - \underbrace{\frac{d\vec{\Omega}}{dt}}_{\vec{\Omega} \times \vec{r}} \times \vec{r} - \vec{\Omega} \times (\vec{\Omega} \times \vec{r}) - 2\vec{\Omega} \times \vec{v}'$$

$$\implies \vec{a}' = \frac{q}{m_e} \vec{E} + \frac{q}{m_e} \vec{v}' \times \vec{B} + \frac{q}{m_e} (\vec{\Omega} \times \vec{r}) \times \vec{B} - \vec{\Omega} \times (\vec{\Omega} \times \vec{r}) - 2\vec{\Omega} \times \vec{v}'$$

2.1.3.2 le terme en \vec{v}' se simplifie si $\vec{\Omega} = -\frac{q}{2m_e} \vec{B}$ d'où :

$$\vec{a}' = \frac{q}{m_e} \vec{E} + \frac{q}{m_e} (\vec{\Omega} \times \vec{r}) \times \vec{B} - \vec{\Omega} \times (\vec{\Omega} \times \vec{r}) = \frac{q}{m_e} \vec{E} + \frac{q^2}{4m_e^2} \vec{B} \times (\vec{B} \times \vec{r})$$

2.1.3.3 loi de coulomb : $\vec{E} = \frac{e}{4\pi\epsilon_0} \frac{\vec{r}}{r^3}$

2.1.3.4 on a :

$$\rho = \frac{\frac{e^2}{4m_e} |\vec{B} \times (\vec{B} \times \vec{r})|}{e |\vec{E}|} < \frac{e}{4m_e} \frac{B^2 r}{E} = \frac{\pi\epsilon_0 B^2 r^3}{m_e}$$

$$\text{d'où : } \rho_{max} = \frac{\pi\epsilon_0 B^2 r^3}{m_e} = \frac{\pi B^2 r^3}{m_e \mu_0 c^2}$$

2.1.3.5 A.N : $\rho_{max} = 3 \cdot 10^{-11} \ll 1 \implies \boxed{\vec{a}' \approx \frac{q\vec{E}}{m_e}}$

2.1.4 sans \vec{B} on a ,dans R_{gal} : $\vec{a} = \frac{q\vec{E}}{m_e}$

avec \vec{B} on a dans R_{Larmor} tel que $\vec{\Omega} = -\frac{q}{2m_e} \vec{B}$: $\vec{a}' = \frac{q\vec{E}}{m_e}$ c'est le théorème de Larmor

2.2 Oscillateur harmonique spatial

2.2.1 TMC en O dans le référentiel Galiléen : $\frac{d\vec{\sigma}_O}{dt} = \vec{r} \times \vec{f} = \vec{0}$ donc $\vec{\sigma}_O = \vec{r} \times m_e \vec{v} = \vec{c} \vec{t} \vec{e}$ soit $\vec{r} \cdot \vec{\sigma}_O = ax + by + cz = 0$ (équation d'un plan) la trajectoire est contenue dans le plan passant par O et $\perp \vec{\sigma}_O$

oui , la trajectoire est rectiligne si $\vec{r}_0 // \vec{v}_0$

2.2.2

2.2.2.1 dans la base polaire $(\vec{u}_r, \vec{u}_\theta, \vec{u})$ on exprime :

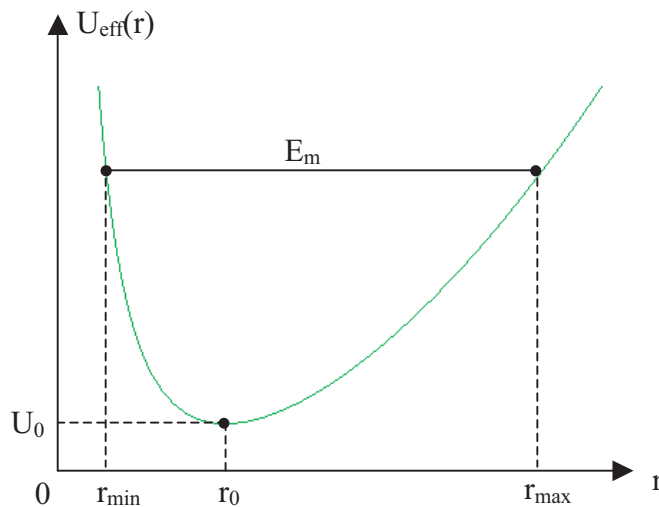
$$\vec{\sigma}_O = \vec{r} \times m\vec{v} = r\vec{u}_r \times m_e(\dot{r}\vec{u}_r + r\dot{\theta}\vec{u}_\theta) = m_e r^2 \dot{\theta} \vec{u} \implies \boxed{\sigma = m_e r^2 \dot{\theta}}$$

2.2.2.2 on a : $E = E_c + E_p$ or $E_p = \int -\vec{f} \cdot d\vec{r} = \int m_e \omega_0^2 \vec{r} \cdot d\vec{r} = m_e \omega_0^2 \frac{r^2}{2}$ et

$$E_c = \frac{1}{2} m_e v^2 = \frac{1}{2} m_e (\dot{r}\vec{u}_r + r\dot{\theta}\vec{u}_\theta)^2 = \frac{1}{2} m_e (\dot{r}^2 + r^2 \dot{\theta}^2)$$

$$\text{soit : } E = \frac{1}{2} m_e \dot{r}^2 + \frac{\sigma^2}{2m_e r^2} + m_e \omega_0^2 \frac{r^2}{2} \implies U_{eff}(r) = \frac{\sigma^2}{2m_e r^2} + m_e \omega_0^2 \frac{r^2}{2}$$

2.2.2.3 TEM dans un référentiel Galiléen : $\frac{dE}{dt} = P^{N.C} = 0 \implies E = cte$ or $\frac{1}{2} m \dot{r}^2 = E_m - U_{eff}(r) \geq 0$
le tracé de $U_{eff}(r)$ est :



la trajectoire est bornée entre $[r_{min}, r_{max}]$

2.2.2.4 si $E = U_{eff}(r_0)$ la trajectoire est un cercle de rayon r_0 donné par

$$U'_{eff} = 0 \iff r_0 = \sqrt{\frac{\sigma}{m_e \omega_0}}$$

dans ce cas $E = U_{eff}(r_0) = \sigma \omega_0$

2.2.3 TRD dans un référentiel Galiléen :

$$m_e \ddot{\vec{r}} + m_e \omega_0^2 \vec{r} = \vec{0} \iff \vec{r}(t) = \vec{a} \cos(\omega_0 t) + \vec{b} \sin(\omega_0 t)$$

les conditions initiales donnent : $\vec{r}(0) = \vec{a}$ et $\dot{\vec{r}}(0) = \omega_0 \vec{b}$ soit :

$$\vec{r}(t) = \vec{r}(0) \cos(\omega_0 t) + \frac{\dot{\vec{r}}(0)}{\omega_0} \sin(\omega_0 t)$$

2.2.4

2.2.4.1 projection sur Oz : $z(t) = z(0) \cos(\omega_0 t) + \frac{\dot{z}(0)}{\omega_0} \sin(\omega_0 t)$

2.2.4.2 on a :

$$z(t) = \Re(\underline{z}(t)) \iff Z \cos(\omega_0 t + \zeta) = z(0) \cos(\omega_0 t) + \frac{\dot{z}(0)}{\omega_0} \sin(\omega_0 t)$$

soit , par trigonométrie : $Z \cos \zeta = z(0)$ et $-Z \sin \zeta = \frac{\dot{z}(0)}{\omega_0}$

finalement : $Z = \sqrt{z^2(0) + \frac{\dot{z}^2(0)}{\omega_0^2}}$ et $\tan \zeta = -\frac{\dot{z}(0)}{z(0)\omega_0}$

2.2.5

2.2.5.1 on a :

$$\begin{aligned} \underline{x}(t) &= [A'(\vec{u}_x + i\vec{u}_y) + A'(\vec{u}_x - i\vec{u}_y)] \exp -i(\omega_0 t + \alpha) \\ &\iff \underline{x}(t) = 2A'\vec{u}_x \exp -i(\omega_0 t + \alpha) \\ &\iff A' = \frac{A}{2} \end{aligned}$$

2.2.5.2 on a :

$$\underline{x}(t) = \underbrace{A'(\vec{u}_x + i\vec{u}_y) \exp -i(\omega_0 t + \alpha)}_{\vec{r}_1(t)} + \underbrace{A'(\vec{u}_x - i\vec{u}_y) \exp -i(\omega_0 t + \alpha)}_{\vec{r}_2(t)} = \vec{r}_1(t) + \vec{r}_2(t)$$

or $\vec{r}_1(t) = \Re(\vec{r}_1(t)) = A' \cos(\omega_0 t + \alpha) \vec{u}_x + A' \sin(\omega_0 t + \alpha) \vec{u}_y$ mouvement circulaire gauche d'un point fictif dans le plan xOy

$\vec{r}_2(t) = \Re(\vec{r}_2(t)) = A' \cos(\omega_0 t + \alpha) \vec{u}_x - A' \sin(\omega_0 t + \alpha) \vec{u}_y$ mouvement circulaire droit d'un point fictif dans le plan xOy

2.2.6 de même avec $B' = \frac{B}{2}$, on aura :

$$\underline{y}(t) = \underbrace{B'(\vec{u}_y + i\vec{u}_x) \exp -i(\omega_0 t + \beta)}_{\vec{r}_3(t)} + \underbrace{B'(\vec{u}_y - i\vec{u}_x) \exp -i(\omega_0 t + \beta)}_{\vec{r}_4(t)} = \vec{r}_3(t) + \vec{r}_4(t)$$

or $\vec{r}_3(t) = \Re(\vec{r}_3(t)) = B' \sin(\omega_0 t + \beta) \vec{u}_x + B' \cos(\omega_0 t + \beta) \vec{u}_y$

$$\implies \vec{r}_3(t) = B' \cos(\omega_0 t + \beta - \frac{\pi}{2}) \vec{u}_x - B' \sin(\omega_0 t + \beta - \frac{\pi}{2}) \vec{u}_y$$

mouvement circulaire droit d'un point fictif dans le plan xOy

de même pour $\vec{r}_4(t)$

2.2.7

2.2.7.1 ona

$$\begin{cases} \vec{x}(t) = A'(\vec{u}_x + i\vec{u}_y) \exp -i(\omega_0 t + \alpha) + A'(\vec{u}_x - i\vec{u}_y) \exp -i(\omega_0 t + \alpha) \\ \vec{y}(t) = B'i(\vec{u}_x - i\vec{u}_y) \exp -i(\omega_0 t + \beta) - B'i(\vec{u}_x + i\vec{u}_y) \exp -i(\omega_0 t + \beta) \end{cases}$$

il vient :

$$\begin{cases} R_g = A' \exp -i\alpha - iB' \exp -i\beta = \frac{1}{2}[Ae^{-i\alpha} - iBe^{-i\beta}] \\ R_d = A' \exp -i\alpha + iB' \exp -i\beta = \frac{1}{2}[Ae^{-i\alpha} + iBe^{-i\beta}] \end{cases}$$

2.2.7.2 la superposition de deux mouvements circulaires gauche et droit

2.3 Changements de fréquence dus à la rotation de Larmor

2.3.1 TRC dans le référentiel Galiléen appliqué à l'électron atomique s'écrit :

$$m_e \ddot{\vec{r}} = -m_e \omega_0^2 \vec{r} + q\vec{v} \times B\vec{z}$$

2.3.2 projection sur Oz : $\ddot{z} + \omega_0^2 z = 0$, le mouvement selon Oz n'est pas modifié

2.3.3 selon Ox : $m_e \ddot{x} + \omega_0^2 x = qB\dot{y}$

$$\text{selon Oy : } m_e \ddot{y} + \omega_0^2 y = -qB\dot{x}$$

2.3.4

2.3.4.1 mouvement circulaire gauche à la pulsation ω_+

$$\begin{cases} x(t) = A' \cos(\omega_+ t + \alpha) \\ y(t) = A' \sin(\omega_+ t + \alpha) \end{cases}$$

$$\text{soit : } \dot{y}(t) = \omega_+ A' \cos(\omega_+ t + \alpha) = \omega_+ x(t)$$

2.3.4.2 d'après 3.3.3 on a : $-m_e \omega_+^2 x(t) = -m_e \omega_0^2 x(t) + qB\omega_+ x(t)$

$$\text{soit : } \omega_+^2 - \frac{eB}{m_e} \omega_+ - \omega_0^2 = 0$$

2.3.4.3 domaine visible $\lambda \in [0.4, 0.8] \mu m \iff \omega_0 = \frac{2\pi c_0}{\lambda} \in [2.3, 4.7] 10^{15} Hz$ or

$$\frac{eB}{m_e} = 1.7 10^{11} Hz \ll \omega_0$$

2.3.4.4

$$(18) \implies \omega_+ = \frac{\frac{eB}{m_e} + \sqrt{(\frac{eB}{m_e})^2 + 4\omega_0^2}}{2} = \frac{eB}{2m_e} + \omega_0 \sqrt{1 + (\frac{eB}{2\omega_0 m_e})^2} \approx \frac{eB}{2m_e} + \omega_0 [1 + \frac{1}{2} (\frac{eB}{2\omega_0 m_e})^2]$$

$$\text{soit : } \Delta\nu_+ = \frac{\omega_+ - \omega_0}{2\pi} \approx \frac{eB}{4\pi m_e} + \frac{\omega_0}{16\pi} (\frac{eB}{m_e \omega_0})^2$$

$$\text{ordre de grandeur : } \frac{eB}{2m_e} \sim 10^{11} Hz \text{ et } \frac{\omega_0}{16\pi} (\frac{eB}{m_e \omega_0})^2 \sim 10^7 Hz$$

soit : $\Delta\nu_+ \approx \frac{eB}{4\pi m_e} = \frac{\Omega}{2\pi}$, en accord avec la théorème de Larmor ,en effet la composition des rotations s'écrit : $\omega_+ \}_{gal} = \omega_0 \}_{lar} + \Omega \}_{lar/gal}$ (circulaire gauche)

2.3.5 de même pour un mouvement circulaire droit à la pulsation ω_-

$$\begin{cases} x(t) = A' \cos(\omega_- t + \alpha) \\ y(t) = -A' \sin(\omega_- t + \alpha) \end{cases}$$

soit : $\dot{x}(t) = +\omega_- y(t)$ remplacée dans (18) $\implies \omega_-^2 + \frac{eB}{m_e} \omega_- - \omega_0^2 = 0$ soit :

$$\omega_- = -\frac{\frac{eB}{m_e} + \sqrt{(\frac{eB}{m_e})^2 + 4\omega_0^2}}{2} = -\frac{eB}{2m_e} + \omega_0 \sqrt{1 + (\frac{eB}{2\omega_0 m_e})^2} \approx -\frac{eB}{2m_e} + \omega_0 [1 + \frac{1}{2} (\frac{eB}{2\omega_0 m_e})^2]$$

soit :

$$\Delta\nu_- = \frac{\omega_- - \omega_0}{2\pi} \approx -\frac{eB}{4\pi m_e} = -\frac{\Omega}{2\pi} = -\Delta\nu_+$$

, en accord avec la théorie de Larmor ,en effet la composition des rotations s'écrit : $-\omega_- \}_{gal} = -\omega_0 \}_{lar} + \Omega \}_{lar/gal}$ (circulaire droite)

2.4 Conséquences sur les raies d'émission de l'atome

2.4.1

2.4.1.1 d'abord : $\vec{B} = \frac{\mu_0 \omega^2}{4\pi R^2 c_0} \vec{R} \times p_0 \vec{z} e^{-i\omega(t - \frac{R}{c_0})} = \frac{\mu_0 \omega p_0}{4\pi R} \vec{k} \times \vec{z} e^{i(kR - \omega t)}$ soit :

$$\vec{E} = -c_0^2 \frac{\vec{k}}{\omega} \times \vec{B} = -\frac{p_0}{4\pi \epsilon_0 R} \vec{k} \times (\vec{k} \times \vec{z}) e^{i(kR - \omega t)}$$

2.4.1.2 notons \vec{u} vecteur unitaire de la droite Δ , on a : $\vec{p}_\perp = \vec{p} - \vec{p}_\parallel = \vec{p} - (\vec{p} \cdot \vec{u}) \vec{u} = p(t) [\vec{z} - (\vec{u} \cdot \vec{z}) \vec{u}]$
or $\vec{k} = k\vec{u}$ d'où :

$$\vec{E} = -\frac{p_0}{4\pi \epsilon_0 R} k^2 [(\vec{u} \cdot \vec{z}) \vec{u} - \vec{z}] e^{i(kR - \omega t)} = \frac{k^2}{4\pi \epsilon_0 R} \vec{p}_\perp (t - \frac{R}{c_0})$$

la direction de $\vec{k} \times (\vec{k} \times \vec{z})$ est fixe donc l'onde est polarisée rectiligne

2.4.1.3 si $\vec{k} // \vec{p} \implies \vec{E} = \vec{0}$, $\vec{B} = \vec{0}$

si $\vec{k} \perp \vec{p} \implies \vec{E} = \frac{k^2}{4\pi \epsilon_0 R} \vec{p} (t - \frac{R}{c_0})$, $\vec{B} = \frac{\mu_0 \omega p_0}{4\pi R} \vec{k} \times \vec{z} e^{i(kR - \omega t)}$

2.4.2 notons $\vec{k} = k\vec{u}$, la polarisation du champ électrique est donnée par $\vec{k} \times (\vec{k} \times \vec{p}) = k^2 [(\vec{u} \cdot \vec{p}) \vec{u} - \vec{p}] = -k^2 \vec{p}_\perp$ c'est le résultat demandé

2.4.3

2.4.3.1 le mouvement général de l'électron atomique en présence du champ magnétostatique \vec{B} se compose de :

- (1) : mouvement circulaire gauche dans le plan xOy
- (1) : mouvement circulaire droit dans le plan xOy
- (2) : mouvement oscillatoire $// \vec{B} = B\vec{z}$

il y aura 3 raies aux fréquences : ν_0 , ν_+ , ν_-

2.4.3.2 voir figure a

- raie ν_0 est polarisée rectiligne $// Oz$
- raie ν_+ est polarisée rectiligne $\perp Oz$
- raie ν_- est polarisée rectiligne $\perp Oz$

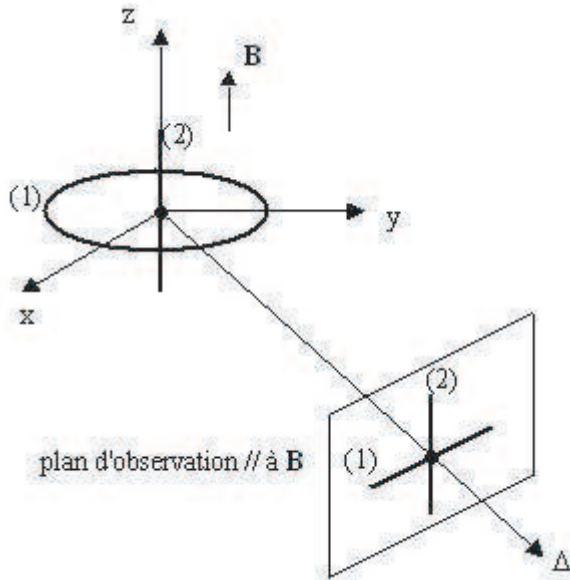


figure a

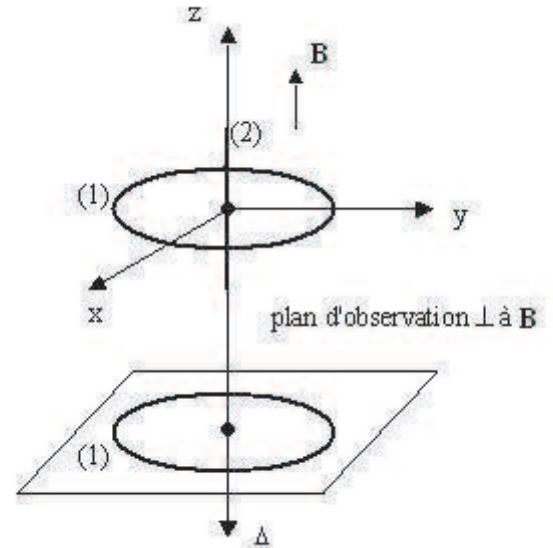


figure b

on utilise un analyseur de polarisation (toutes les raies présentent une extinction)

2.4.3.3 l'intensité $I \propto | \langle E \times B \rangle | \propto p_0^2$, et par symétrie de l'atome, les relations (12), (13), (15) $\implies Z = A = B$ et $\alpha = \beta$ dans les relations 2.2.7.1

- raie ν_0 : $I'_0 = cteZ^2$ en présence du champ B

- raie ν_+ : $I_+ = cte|R_g|^2 = cte\frac{Z^2}{2} = \frac{I'_0}{2}$

- raie ν_- : $I_- = cte|R_d|^2 = cte\frac{Z^2}{2} = \frac{I'_0}{2}$

2.4.4

2.4.4.1 d'après 2.4.1.3 il n'y aura que les raies ν_+ et ν_-

2.4.4.2 voir figure b

- raie ν_+ est polarisée circulaire gauche

- raie ν_0 est polarisée circulaire droite

de même intensité

2.4.4.3 il faut utiliser cette fois une lame quart d'onde

2.4.5

2.4.5.1 on a : $\Delta\nu = \Delta\nu_+ = -\Delta\nu_- = \frac{eB}{4\pi m_e} \ll \nu_0$ et $\nu = \frac{c_0}{\lambda} \implies d\nu = -\frac{c_0 d\lambda}{\lambda^2} \implies \Delta\lambda = \frac{\lambda_0^2 \Delta\nu}{c_0} \implies$

$$\frac{\Delta\lambda}{\lambda_0} = \frac{\lambda_0 e B}{4\pi m_e c_0}$$

2.4.5.2 pente = $\frac{\lambda_0 e}{4\pi m_e c_0} = 3.2 \cdot 10^{-5} \text{ Tesla}^{-1} \implies \frac{e}{m_e} = 1.9 \cdot 10^{11} \text{ C.kg}^{-1}$

2.4.5.3 Interféromètre de Michelson.

fin du corrigé